

Farklı Cep İşleme Çevrimlerinin İşleme Süresi ve Yüzey Pürüzlülük Kriterlerine Göre İncelenmesi

Abdulkadir Güllü
Yardımcı Doçent

Ahmet Murat Pınar
Araştırma Görevlisi

Ali Rıza Motorcu
Araştırma Görevlisi

Makine Eğitimi Bölümü
Teknik Eğitim Fakültesi
Gazi Üniversitesi
06500 ANKARA

Bu çalışmada, DYNA MYTE 2900 Dik İşleme Merkezinde, Ç1040 malzeme üzerinden talaş kaldırılarak, en çok kullanılan 6 cep işleme çevrimi, süre ve yüzey pürüzlülüğü kriterlerine göre incelenmiş ve sonuçlar sunulmuştur. Süre kriteri, cep işleme çevrimlerinin işleme sürelerini hesaplayan bir algoritma ile belirlenmiştir. Yüzey pürüzlüğünün belirlenmesi için her bir numunenin yüzeyinde farklı doğrultularda Mitutoyo Surftest-211 profilometre ile ölçümler yapılmış ve ortalama yüzey pürüzlülük değerleri sunulmuştur. Ölçüm sonuçları değerlendirilerek iki kritere göre en iyi sonuçları veren cep işleme tipleri tavsiye edilmiştir.

Anahtar Kelimeler: Cep frezeleme, yüzey pürüzlülüğü, CAD/CAM, takım yolu, işleme süresi.

GİRİŞ

İşleme verimliliği ve ürün kalitesi imalat endüstrisindeki rekabet için önemli kavramlardır. Bu rekabeti sürdürmek için imalatin belirlenen toleransta, en kısa zamanda ve en düşük maliyyette tutulması gerekmektedir. İmalat sanayisinde yüksek kalite ve işlemeyi etkileyen maliyet talaş kaldırma işlemlerinin optimizasyonu ile gerçekleştirilebil-mektedir [1]. Optimizasyon takım yolu optimizasyonu ve ilerleme değerinin optimizasyonu olmak üzere iki kategoride ele alınmaktadır:

Yapılan bu çalışmada, temel işleme operasyonlarından cep frezeleme incelenmiştir. Cep frezeleme malzemenin alınından başlayarak içte boş bir boş hacim oluşturan, gerek kalıp imalatında gerekse diğer alanlarda çok sık kullanılan bir işlem türüdür[2]. Bazı durumlarda cep, içinde ayrı bir cep ya da ada gibi unsurlar içerebilir. Bu çalışmada, 2 ½ boyutlu, ada içermeyen basit cepler incelenmiştir.

Takım yolu uzunluğunun en kısa hale getirilme çalışmalarının büyük bir kısmı cep için takım çapının bulunmasına yönelikir. Dereli ve Filiz [3], CAD veri tabanından cebin sınırlarındaki en kısa mesafeleri belirlemişler ve bu mesafelere uygun en büyük çaplı takımı seçmişler ve belirlenen profili paralel kaldırma yöntemi ile oluşturmuşlardır. Oluşturulan takım yolu tek takımla işlendiğinden ilave takım değiştirme zamanı oluşmamaktadır. Vosniakos [4], cebi 3 takımla işlemiş merdiven ve kaldırma metotlarını kullanmıştır.

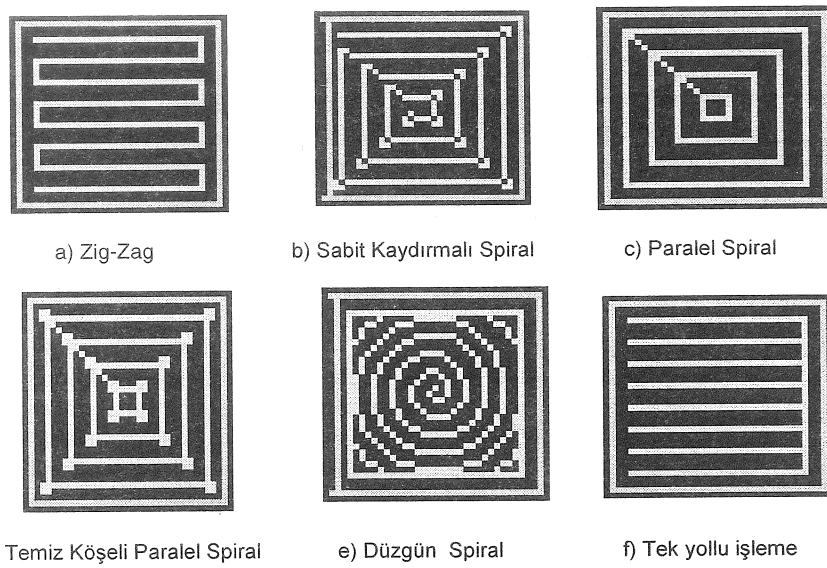
İlk iki takım cep kaldırma metodu ile 3. takım ise, merdiven tipli işleme ile cebi tanımlamaktadır. İlk takım cebin sınır çizgisine bağlı olarak seçilmekte, 2. takım daha büyük çapta aynı takım yolunu kaldırarak oluşturmaktadır. 3. Takım da kaba adayı temizleyerek basit cebi oluşturmaktadır. Gerçekten de sunulan metod talaş kaldırma hareketini en aza indirmeye yönelikir ancak, takım değiştirme hareketleri boştaki zamanı artırmaktadır.

Bu çalışmada, CAD/CAM paket programlarının sunduğu standart cep işleme tipleri süre ve yüzey pürüzlülüğü açısından karşılaştırılarak sonuçlar sunulmuştur.

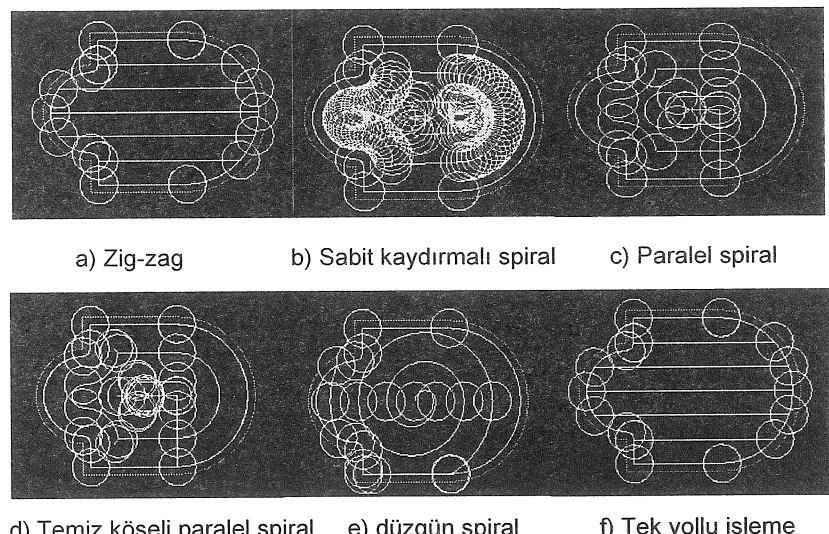
CEP İŞLEME TIPLERİ

CAD/CAM paket programları ve CNC tezgah kontrol üniteleri birçok cep işleme metodu sunmaktadır. Bu çalışmada en çok kullanılan 6 tip cep işleme çevrimi Mastercam paket programı kullanılarak analiz edilmiştir. Kullanılan çevrimlerin bazıları profili tekrarlayarak ve belli bir oranda kaldırma kullanarak, bazıları belli bir eğrisel逆行yle bazıları da tek yönlü olarak cebi oluşturmaktadır. Şekil 1'de Mastercam'de kullanılan cep işleme yöntemleri görülmektedir.

Şekil 2'de cep işleme yöntemlerine ait takım yollarının deney numunesi geometrisi üzerindeki gösterimleri yer almaktadır.



Şekil 1. İncelenen cep işleme tipleri.



Şekil 2. Cep işleme tiplerine ait takım yolları.

DENEY PARAMETRELERİ

a. İş Parçası Malzemesi

Deney numunesi olarak Tablo 1'de kimyasal bileşimi verilen, sertliği 30 HRc olan Ç1040 malzeme

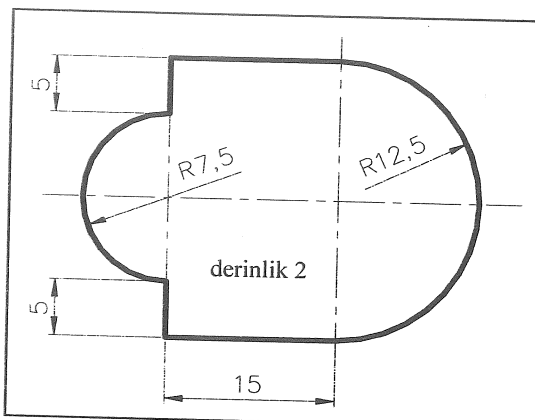
kullanılmıştır. Deney numunelerinin talaş kaldırılacak yüzeyleri işleme öncesi düzlem taşlama tezgahında taşlanarak temizlenmiştir.

Tablo 1. Ç1040 Çelik malzemenin kimyasal bileşimi [KOSGEB].

| Element | % | Element | % | Element | % |
|---------------|--------|---------------|---------|-------------|--------|
| Karbon (C) | 0.4410 | Silisyum (Si) | 0.182 | Mangan (Mn) | 0.770 |
| Fosfor (P) | 0.0145 | Kükürt (S) | 0.03756 | Krom (Cr) | 0.0926 |
| Molibden (Mo) | 0.0141 | Nikel (Ni) | 0.0888 | Bakır (Cu) | 0.301 |
| Demir (Fe) | Kalan | | | | |

b. İş Parçası Geometrisi

İş parçası geometrisi Şekil 3'te verilmiştir.



Şekil 3. İş parçası geometrisi.

c. Kesici Takım

Ceplerin işlenmesinde TAKIMSAŞ'a ait ϕ 6 mm dört ağızlı kaplamasız sert metal düz parmak freze kullanılmıştır.

d. Takım Tezgahı

Numuneler DYNA MYTE 2900 dik işleme merkezinde üniversal tezgah mengenesine bağlanarak işlenmiştir.

e. Talaş Kaldırma Parametreleri

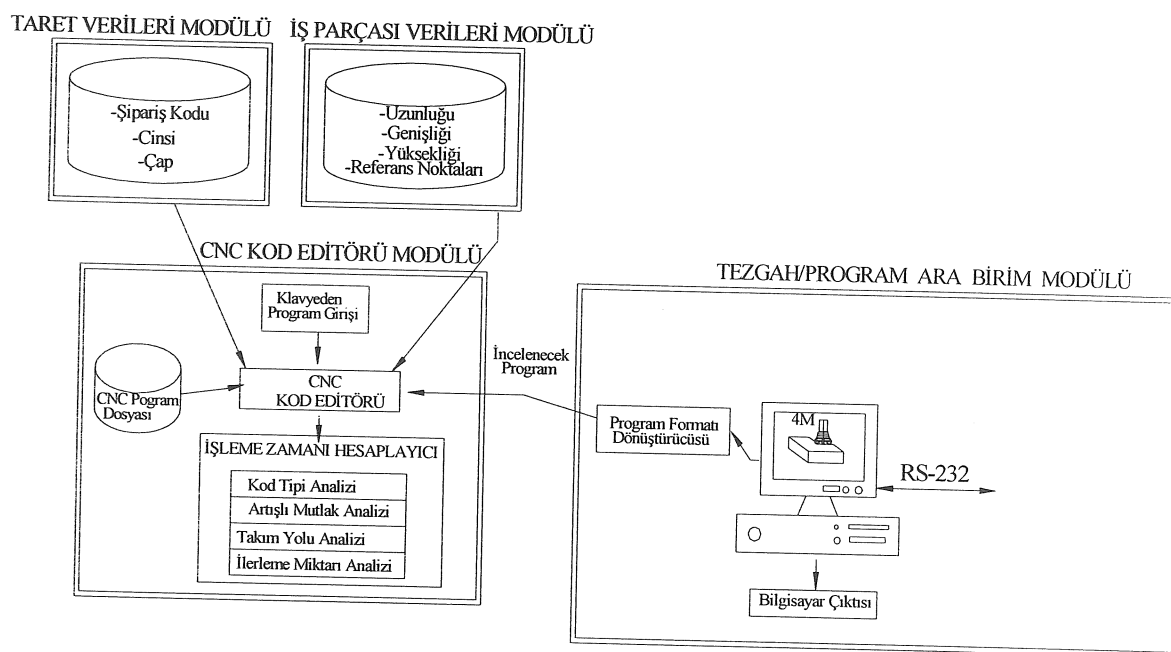
Her numunenin işlenmesinde aşağıda belirtilen talaş kaldırma parametreleri kullanılmıştır.

| | |
|--|-----------------|
| Kesme hızı (v) | : 80 m/dak, |
| Dönme hızı (n) | : 4200 dev/dak, |
| Diş başına ilerleme değeri (f_z) | : 0.02 mm/dev, |
| Talaş kaldırma ilerlemesi (f) | : 285 mm/dak, |
| Toplam talaş derinliği (a) | : 2 mm, |
| Her pasodaki talaş derinliği (a_1) | : 0.5 mm, |
| İşleme ortamı | : Kuru İşleme, |
| Çakının yana kayma mesafesi (overlap) | : %30 |

İŞLEME SÜRELERİNİN BELİRLENMESİ

Bir frezeleme işleminde yüksek verimlilik elde edilebilmesi, talaş kaldırmayı en verimli kılan kesme parametrelerinin doğru belirlenmesi ile sağlanabilir. Esas işleme süresi ve toplam üretim süresi arasındaki oran incelendiğinde esas işleme süresinin kesinlikle ihmal edilemeyecek oranda yüksek olduğu ortaya çıkmaktadır [5].

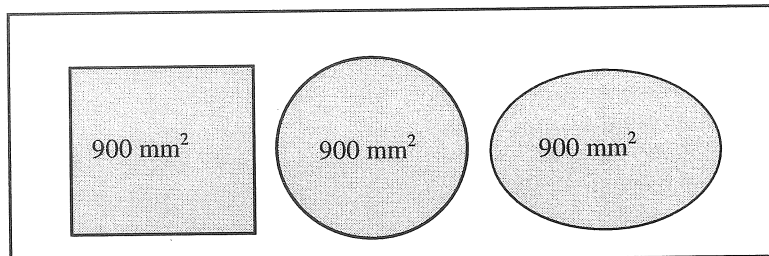
Operasyonlara ait işleme süreleri Pınar [6] tarafından daha önce geliştirilen algoritmayla hesaplanmıştır. Çevrimine ait CNC parça programı disketten veya tezgahtan RS-232 seri kablosu ile programa aktarılır. Şekil 4'te algoritmaya ait modüller görülmektedir. İşleme süresinin hesaplanması için öncelikle tezgah /program arabirim modülü vasıtasi ile tezgah takımı CNC parça programının CNC kod editörüne aktarılması gerekmektedir. Bu işlemin ardından taret (takım başlığı) ve iş parçası modüllerindeki iş parçası ve kesici takımlara ait veri tabanları oluşturulur. İşleme zamanı işlemcisini ile de operasyonlara ait işleme süreleri elde edilir [6].



Şekil 4. İşleme süresinin hesaplama algoritması.

Şekil 5'deki kare, daire ve elipsten oluşan 3 geometri de 900 mm^2 lik alana sahiptir. Geometriler için aynı işleme parametreleri kullanılarak Mastercam paket programında G kodları türetilmiştir. Bu kodlar oluşturulan zaman hesaplama algoritması ile analiz edilmiş ve işleme süreleri hesaplanmıştır (Tablo 2).

Deneysel çalışmada 6 cep işleme tipine ait kodların yer aldığı CNC program dosyaları tezgahtan bilgisayara RS-232 seri kablo ile aktarılarak incelenmiştir. Sadece talaş kaldırma hareketlerinin süresi hesaplanmıştır. Tablo 3' de her operasyona ait süreler ve zaman kazançları sunulmuştur. Bu karşılaştırmada en uzun işleme süresi olan Tek Yollu işleme tipi esas alınmıştır



Şekil 5. İşleme süreleri hesaplanan ilkel elemanlar.

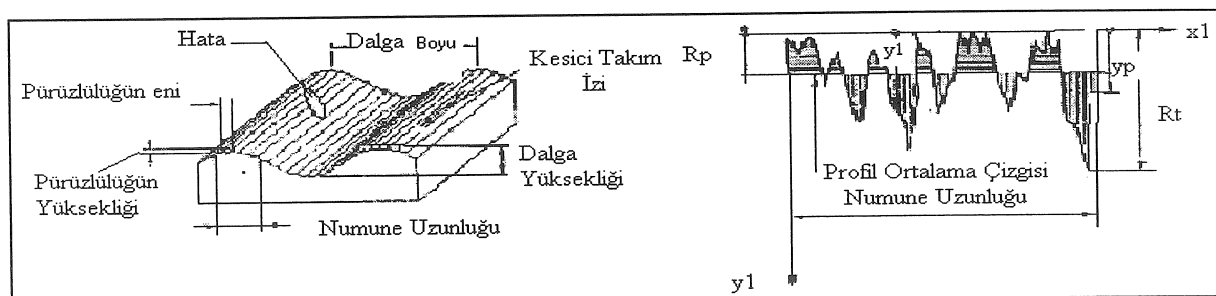
Tablo 3. Cep işleme metodlarına ait işleme süreleri ve zaman kazançları.

| İŞLEME TİPİ | İşleme Süresi (dk.) | Yüzdelik Kazanç |
|--------------------------|---------------------|-----------------|
| Düzgün Spiral | 4.16 | 55.697 |
| S. Kaydirmalı Spiral | 4.58 | 51.224 |
| Zig-Zag | 5.03 | 46.432 |
| Paralel Spiral | 5.14 | 45.260 |
| T. Köşeli Paralel Spiral | 5.39 | 42.598 |
| Tek Yollu | 9.39 | 0 |

YÜZYE PÜRÜZLÜLÜĞÜ

İşlenmiş yüzeyin yüzey pürüzlüğünün değerlendirilmesi belirli kriterlere göre yapılır (Şekil 6). Yüzey pürüzlükleri (R_a , R_z , R_t), yüzeye ve yüzey izlerine dik bir yönde, profil ortalaması çizgisine göre tayin edilir. Referans profili olarak genellikle geometrik profil alınır [5].

Talaş kaldırma yüksek kesme hızının seçilmesi ile elde edilen yüksek talaş kaldırma oranına karşılık işleme süresi azaltılarak işleme ekonomisi sağlanmaktadır. Özellikle bitirme işlemelerinde yüzey kalitesinin iyileştirilmesi ve istenen değerde olması, kesme hızının optimum değerde verilmesine bağlıdır [7]. Deney numunelerinin işlenmesinde, işleme süresini ve yüzey pürüzlük değerini en aza indirecek kesme hızı değeri hesaplanarak kullanılmıştır.



Şekil 6. Yüzey pürüzlüğünün değerlendirilmesi [5].

Talaş kaldırma işlemlerinde, ilerleme hızının belirlenmesi aşamasında maksimum ilerlemenin takım uç yarıçapını aşmaması gerekmektedir. Burada kural ilerleme değerinin takım uç yarıçapı değerinin $1/3$ katından daha küçük olmasıdır [8]. Kullanılan kesici takım düz parmak freze çakısı olduğundan ilerleme değeri; kesici takım malzemesi, iş parçası malzemesi ve işlem türüne bağlı olarak standart tablodan seçilmiştir [9].

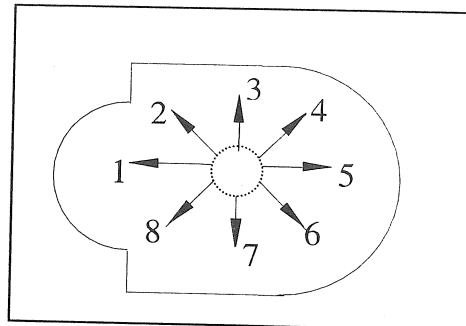
Yüzey Pürüzlüğünün Ölçülmesi

Pürüzlülük oluşumu engellenemez, ama kontrol altına alınabilir. Yüzey pürüzlüğünü kontrol altına almak veya işleme sırasında oluşan yüzey pürüzlüğünü ölçmek için numunenin özelliklerine göre farklılık gösteren optik mikroskop, profilometreler, kesit alma, dokunma, pnömatik, ışık yansımıası gibi çeşitli metodlar geliştirilmiştir.

Bu çalışmada, yüzey pürüzlüğünün ölçülmesinde MITUTOYO SURFTEST 211 profilometre cihazı kullanılmıştır.

Örneklemeye Uzunluğu (λ_c) = 0.8 mm,
Değerlendirme Boyu (Ucun gezdiği uzunluk) = $L_n = 5 \times \lambda_c = 4$ mm alınmıştır.

Sonuçların doğruluğu ve güvenilirliği açısından numuneler 8 farklı yönde ölçülmüştür. Kesici izlerinin tam temsil edilebilmesi için genellikle çevrimin başlangıcına karşılık gelen daire içine alınmış bölge ölçme dışında tutulmuştur (Şekil 7). Elde edilen Ra, Rz ve Rt değerlerinin ortalamaları Tablo 4'de sunulmuştur.



Şekil 7. Numunelerin yüzey pürüzlük ölçme yönleri.

Tablo 4. Cep işleme tiplerine ait pürüzlük ölçüm sonuçları.

| Cep İşleme Tipleri | Ortalama Ra (μm) | Ortalama Rz (μm) | Ortalama Rt (μm) |
|-----------------------------|-------------------------------|-------------------------------|-------------------------------|
| Düzgün Spiral | 1.1463 | 4.5625 | 7.3750 |
| Sabit Kaydıraklı Spiral | 1.4225 | 5.7000 | 9.1500 |
| Zig Zag | 0.8800 | 3.7000 | 5.6125 |
| Paralel Spiral | 1.7600 | 7.0125 | 10.425 |
| Temiz Köşeli Paralel Spiral | 1.2350 | 5.1250 | 8.0125 |
| Tek Yollu | 1.2375 | 5.0375 | 7.7875 |

SONUÇ VE TARTIŞMA

Bu çalışmada 6 cep işleme metodu, yüzey pürüzlülüğü ve işleme süresi kriterine göre incelenmiştir. Bu inceleme, öncelikle cep işleme tipleri daire, kare ve elips gibi üç basit geometri üzerinde denenmiş ve işleme süreleri belirlenmiştir. Bu sonuca göre; üç geometri içinde doğru spiral metodunda en düşük işleme süresi, tek yollu metodda da en uzun işleme süresi elde edilmiştir. Deneysel olarak yapılan Şekil 3'deki geometride de en düşük ve en fazla işleme sürelerinin aynı metodlarla elde edildiği görülmüştür. Bu zaman farklarının oluşmasındaki sebepler; deneysel esnasındaki gözlemlere ve simülasyon görüntülerine dayanarak, takımın talaş kaldırmadan yaptığı hareketlerin fazlalığı ve toplam işleme boyalarının metodlara göre

farklılık göstermesidir. Özellikle tek yollu cep işleme tipinde, her bir pasodan önce kesici, başlangıçtaki mesafesine gelip hareketine o noktadan devam ettiğinden takımın boşta hareketleri artmaktadır. Özellikle dairesel yörüngeli cep işleme tiplerinde, toplam işleme uzunluğunun daha da kısalıldığı böylelikle zaman tasarrufu sağlandığı görülmektedir. Yüzey pürüzlüğü kriteri açısından 6 farklı cep işleme yöntemi incelendiğinde, elde edilen Ra, Rz ve Rt yüzey pürüzlük değerleri Tablo 4'de sunulmuştur. Buna göre Zig-Zag Cep İşleme Metodu ile aynı kesme şartlarında en düşük ortalama yüzey pürüzlük değerine ulaşılmıştır.

Elde edilen veriler ışığında, Mastercam paket programında hazırlanan bu cep işleme tiplerinden, süre olarak en iyi değere ulaşılan Düzgün spiral metodu cebin kaba işlenmesinde, Zig-Zag tipli işleme metodu da son pasoda tavsiye edilebilir.

THE INVESTIGATION OF DIFFERENT POCKET MACHINING CYCLES IN TERMS OF SURFACE ROUGHNESS AND MACHINING TIME CRITERIAS

In this article, DYNA MYTE 2900 Vertical Machining center is investigated according to the criteria of the most used six pocket machining cycles, time and surface roughness by removing chips from the C1040 material. This criteria is determined by an algorithm calculating the machining times of the pocket machining cycles. In order to determine surface roughness, on the surface of each example, calculations have been made with Mitutoyo Surftest-211 Profilometer in different directions. Then average values of surface roughness have been shown by calculating measurement results. The Pocket machining types which give the best results for each criteria have been suggested.

Keywords: Pocket milling, surface roughness, CAD/CAM, tool path, machining time

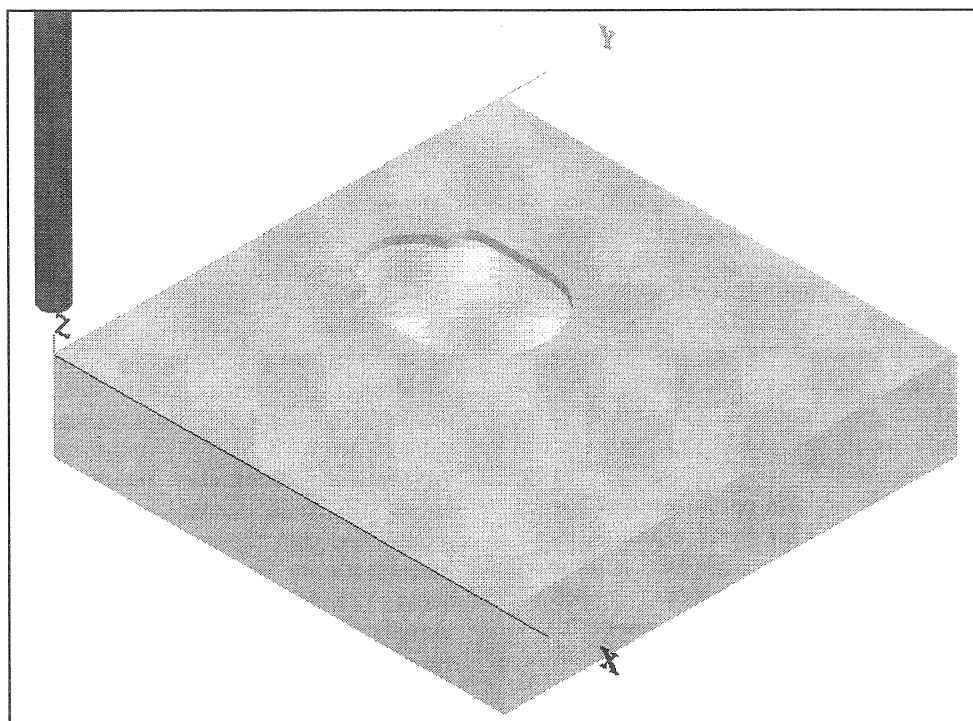
KAYNAKÇA

1. Yung, H.Y., Su, N., Integrated Tool Path And Feed Rate Optimization For The Finishing Machining of 3D Plane Surfaces, *International Journal of Machine Tools And Manufacturing*, 40 (2000), 1557-1572.
2. Wong, T.N., Wong, K.W., NC Toll Path Generation For Arbitrary Pockets With Islands, *International Journal of Advanced*

Manufacturing Technology 12 (1) (1996), 174-183.

3. Dereli, T., Filiz, H., Automatic Code Generation In Process Planning of Rotational And Prismatic Parts, *Journal of Polytechnic*, G.Ü. Teknik Eğitim Fakültesi, 3 (2) (2000) 1-25.
4. Vosniakos, G., Papapanagiotu, P., Multiple Tool Path Planning of Convex Pockets Without Islands, *Robotics and Computer Integrated Manufacturing* 16 (2000), 425-435.
5. Motorcu, A. R., *BSD Freze Tezgahlarında Optimum Zaman, Maliyet ve Kalite Açılarından Üretim İçin Bir Bilgisayar Programının Hazırlanması*, Yüksek Lisans Tezi, Gazi Üniversitesi Fen Bilimleri Enstitüsü, Ankara, 2001.
6. Pinar, A., *CNC Frezelemede Alternatif Başlama Noktalari Ve İşlem Basamaklarına Göre Zaman Analizi*, Yüksek Lisans Tezi, Gazi Üniversitesi Fen Bilimleri Enstitüsü Ankara, 2000.
7. Akkurt, M., *Talaş Kaldırma Yöntemleri ve Takım Tezgahları*, Birsen Yayınevi, İstanbul, 1996.
8. Çakır, C., *Talaş Kaldırma Mekanığı Ders Notları*, Uludağ Üniversitesi, Ankara, 1997.
9. Kulaksız, Ö., *Metal Meslek Bilgisi* (Çeviri), Ajans Türk Gazetecilik ve Matbaacılık A.Ş., Ankara, 1995.

EK



Şekil 8. Parçanın simülasyon görüntüsü.